

МАТЕМАТИЧЕСКАЯ  
ФИЗИКА

УДК 519.635

Посвящается профессору Евгению Михайловичу Шахову в связи с его 90-летием

О МОДЕЛИРОВАНИИ СТРУИ РАЗРЕЖЕННОЙ ПЛАЗМЫ  
НА ОСНОВЕ КИНЕТИЧЕСКИХ УРАВНЕНИЙ

© 2023 г. М. В. Абгарян<sup>1,\*</sup>, А. М. Бишаев<sup>2,\*\*</sup>, В. А. Рыков<sup>3</sup>

<sup>1</sup> 125080 Москва, Ленинградское шоссе, 5, а/я 43, МАИ, Россия

<sup>2</sup> 141701 Долгопрудный, М.о., Институтский пер., 9, МФТИ, Россия

<sup>3</sup> 117333 Москва, ул. Вавилова, 44, ФИЦ ИУ РАН, Россия

\*e-mail: abgmvk@gmail.com

\*\*e-mail: bishaev@bk.ru

Поступила в редакцию 02.06.2023 г.

Переработанный вариант 14.08.2023 г.

Принята к публикации 22.08.2023 г.

Рассматривается задача о струе разреженной плазмы, выходящей из стационарного плазменного двигателя. Рассмотрение проводится полностью на кинетическом уровне, а именно, для описания движения всех компонент плазмы вводятся функции распределения. Система кинетических уравнений должна решаться совместно с уравнениями Максвелла. Обсуждаются методы решения полученной задачи. Библ. 10. Фиг. 1.

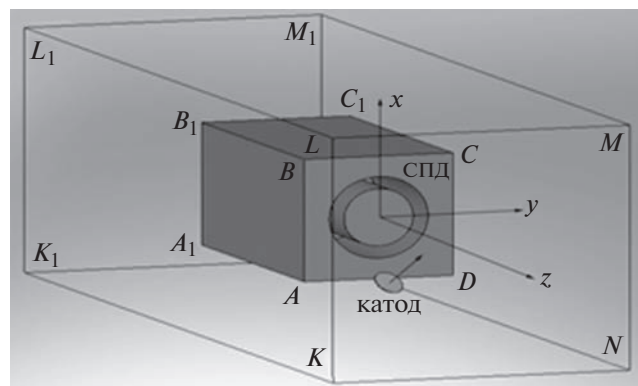
**Ключевые слова:** плазма, электронная, ионная и нейтральная компоненты плазмы, функции распределения электронной, ионной и нейтральной компонент плазмы, электрическое поле, длина Дебая, уравнение Пуассона, ленгмюровские колебания, квазинейтральность.

**DOI:** 10.31857/S0044466923120025, **EDN:** ZVAIWT

ВВЕДЕНИЕ

Наиболее полное решение задачи о струе, выходящей из стационарного плазменного двигателя (СПД), рассматривалось в работах [1] и [2]. Геометрические аспекты постановки этой задачи представлены на фиг. 1.

Из кольцевого отверстия двигателя, который моделируется параллелепипедом  $ABCDA_1B_1C_1D_1$ , выходят в окружающее пространство ионы и нейтралы. Электроны испускаются катодом (он изображен на фиг. 1) и поступают через кольцевое отверстие в двигатель. В названных выше ра-



Фиг. 1.

ботах приводятся результаты ранее сделанных оценок, которые показывают, что движущаяся среда есть квазинейтральная плазма и для ее адекватного описания необходим кинетический подход.

В [1] и [2] для описания движения ионов и нейтралов использовался кинетический подход, т.е. вводились функции распределения ионов и нейтралов и формулировались кинетические уравнения, откуда они находились. Для описания электронной компоненты использовались ее уравнения движения, откуда с помощью выдвинутой А.И. Морозовым гипотезы “термализованного потенциала” (см. [3]) получалось выражение для электрического поля. Это позволяло замкнуть систему кинетических уравнений для ионов и нейтралов.

В [1] был построен численный метод для решения получившейся системы кинетических уравнений и, используя его, сделать расчеты, результаты которых приведены в [2]. На фиг. 1 параллелепипед  $KLMN_1L_1M_1N_1$  обозначает область (расчетную), где осуществлялись расчеты. Они производились как вверх, так и вниз по потоку.

В данной статье предлагается описание движения электронной компоненты вести на кинетическом уровне, что позволит определить электрическое поле из совместного решения системы кинетических уравнений и уравнений Максвелла и, тем самым, освободиться от гипотезы “термализованного потенциала”.

## 1. ПОСТАНОВКА ЗАДАЧИ

Пусть  $f_i = f_i(t, \mathbf{x}, \xi)$  – функция распределения ионов, где  $\xi$  – их скорость, а  $D_i$  ( $\xi \in D_i$ ) – скорость пространство ионов. Соответственно,  $f_e = f_e(t, \mathbf{x}, \mathbf{v})$  – функция распределения электронов, а  $\mathbf{v}$ ,  $D_e$  суть скорость и скорость пространство электронов. Аналогично  $f_n = f_n(t, \mathbf{x}, \mathbf{w})$  является функцией распределения нейтралов, тогда как  $\mathbf{w}$  – скорость нейтралов с  $\mathbf{w} \in D_n$  их скоростным пространством. Предположим, что так введенные функции распределения подчиняются следующей системе кинетических уравнений:

$$\begin{aligned} \frac{\partial f_i}{\partial t} + \xi^k \frac{\partial f_i}{\partial x^k} + \frac{e}{m_i} E^k \frac{\partial f_i}{\partial \xi^k} &= J_{in}, \\ \frac{\partial f_e}{\partial t} + v^i \frac{\partial f_e}{\partial x^i} - \frac{e}{m_e} E^i \frac{\partial f_e}{\partial v^i} &= 0, \\ \frac{\partial f_n}{\partial t} + w^i \frac{\partial f_n}{\partial x^i} &= J_{ni}. \end{aligned} \quad (1)$$

В (1) электрическое поле  $\mathbf{E} = \{E^i\}$  предполагается потенциальным, т.е.  $E_k = -\frac{\partial \phi}{\partial x_k}$ ,  $k = 1, 2, 3$ , где  $\phi = \phi(t, \mathbf{x})$  есть потенциал электрического поля, для определения которого используется уравнение Максвелла

$$\Delta \phi = 4\pi e(n^e - n^i), \quad \Delta = \frac{\partial^2}{\partial x^2} + \frac{\partial^2}{\partial y^2} + \frac{\partial^2}{\partial z^2}, \quad (2)$$

$e$ , как в (1), так и в (2) есть модуль заряда электрона, а  $m_i$  и  $m_e$  – массы иона и электрона соответственно. Фигурирующие в (2)  $n_e$  и  $n_i$  суть плотности электронов и ионов соответственно, и определяются следующими формулами:

$$n_e = \int_{D_e} f_e(t, \mathbf{x}, \mathbf{v}) d\mathbf{v}, \quad n_i = \int_{D_i} f_i(t, \mathbf{x}, \xi) d\xi.$$

Плотность тока определяется в виде

$$\mathbf{j} = e(\mathbf{j}_i - \mathbf{j}_e), \quad \text{где} \quad \mathbf{j}_i = \int_{D_i} \xi f_i d\xi, \quad \mathbf{j}_e = \int_{D_e} \mathbf{v} f_e d\mathbf{v}$$

суть плотности ионного и соответственно электронного токов. Величины  $\mathbf{u}_i = \frac{\mathbf{j}_i}{n_i}$ ,  $\mathbf{u}_e = \frac{\mathbf{j}_e}{n_e}$  являются макроскопическими скоростями ионов и электронов. Выражения

$$\frac{3}{2}kT^i = \frac{m_i}{2} \int_{D_i} (\xi - \mathbf{u}_i)^2 f_i d\xi, \quad \frac{3}{2}kT^e = \frac{m_e}{2} \int_{D_e} (\mathbf{v} - \mathbf{u}_e)^2 f_e d\mathbf{v}$$

определяют такие величины, как температуры ионов и электронов. Правые части первого и третьего уравнения (1) суть интегралы столкновений ионов с нейтралами и нейтралами с ионами. В цитируемых выше работах указывалось, что основной вклад в них дает резонансная перезарядка (см. [4]) – взаимодействие, заключающееся в том, что ион отбирает электрон у нейтрала, становясь при этом нейтралом; а нейтрал, отдавая электрон, становится ионом. В [1] использовались для интегралов столкновений следующие выражения  $J_{in} = v_{in}f_n - v_{ni}f_i$ ,  $J_{ni} = v_{ni}f_i - v_{in}f_n$ , где  $v_{in} = n_i v$ ,  $v_{ni} = n_n v$ , а  $v$  есть функция от макропараметров ионов и нейтралов (ее выражение имеется в [1]). Эти выражения будут использоваться в данной работе. В [2], применяя процедуру феноменологического вывода уравнения Больцмана, были получены более точные выражения для частот столкновений. Как показали тестовые расчеты, результаты численных решений систем кинетических уравнений в диапазоне используемых входных данных, слабо зависели от вида частоты в интегралах столкновений.

Предполагается, что электроны в струе двигаются в бесстолкновительном режиме. Отметим сразу, что в формулах (1), (2) и тех, которые будут приведены ниже, по повторяющимся индексам производится суммирование. Стоящие внизу индексы  $i$ ,  $e$ ,  $n$  используются исключительно для обозначения принадлежности соответствующей величины к ионам, электронам или нейтралам. Отметим также, что аналогичный подход к описанию плазмы был предложен А.А. Власовым в [5].

Приведем уравнения (1) и (2) к безразмерному виду. За масштаб длины примем полуширину квадрата ABCD –  $a$  (см. фиг. 1). За масштабные значения скоростных пространств примем следующие величины:

$$\xi_0 = \sqrt{\frac{2eU_0}{m_i}}, \quad v_0 = \sqrt{\frac{2kT_e^0}{m_e}}, \quad w_0 = \sqrt{\frac{2kT_n^0}{m_n}},$$

где  $U_0$  – разрядное напряжение ( $\approx 300$  В),  $T_e^0$ ,  $T_n^0$  – суть характерные значения температуры электронов и нейтралов соответственно. Так как  $m_e \ll m_i$ , то, как правило,  $v_0 > \xi_0$ ,  $t_0 = \frac{a}{\xi_0}$ , хотя в нашем случае  $\frac{\xi_0}{v_0} \approx 10^{-2}$ . Такой выбор временного масштаба связан с тем, что в задаче о струе, выходящей из СПД, основной интерес представляет поведение ионов. Электрическое поле в плазме (самосогласованное) определяется движением ее компонент, поэтому за его масштаб принимается величина  $\phi_0 = \frac{kT_e^0}{e}$ ,  $E_0 = \frac{kT_e^0}{ae}$ . Как обычно, величины

$$f_i^0 = \frac{n_0}{c_0^3}, \quad f_e^0 = \frac{n_0}{V_0^3}, \quad f_n^0 = \frac{n_n^0}{w_0^3}, \quad c_0 = \sqrt{\frac{2kT_i^0}{m_i}}$$

где  $T_i^0$  – характерное значение температуры ионов на выходе из отверстия, принимаются за характерные значения соответствующих функций распределения. Здесь  $n_0$  – масштабное значение плотности ионов и электронов. Она принимается одной и той же для обоих компонент. В безразмерном виде система (1) будет следующей:

$$\begin{aligned} \frac{\partial f_i}{\partial t} + \xi^k \frac{\partial f_i}{\partial x^k} + BE^k \frac{\partial f_i}{\partial \xi^k} &= \frac{1}{Kn_{in}} J_{in}, \\ Sh_e \frac{\partial f_e}{\partial t} + v^k \frac{\partial f_e}{\partial x^k} - E^k \frac{\partial f_i}{\partial v^k} &= 0, \\ Sh_n \frac{\partial f_n}{\partial t} + w^k \frac{\partial f_n}{\partial x^k} &= \frac{1}{Kn_{ni}} J_{ni}. \end{aligned} \quad (3)$$

В (3)  $\text{Sh}_e = \frac{\xi_0}{v_0} = \sqrt{\frac{m_e U_0}{m_i T_e^0}} < 1$  – есть аналог числа Струхаля для электронов, а  $\text{Sh}_n = \frac{\xi_0}{w_0}$  для нейтралов,  $B = \frac{e T_e^0}{2 U_0} < 1$ .  $\text{Kn}_{in}$ ,  $\text{Kn}_{ni}$  – числа Кнудсена ион-нейтрального и нейтрал-ионного взаимодействий, а стоящие перед ними члены суть безразмерные значения интегралов столкновений. Они определяются в [1] и [2].

Безразмерный вид уравнения (2) задается формулой (5)

$$\epsilon^2 \Delta \phi = (n_e - n_i). \quad (4)$$

Причем  $\epsilon = \frac{r_d}{a}$ , где  $r_d = \sqrt{\frac{k T_e^0}{4\pi e^2 n_0}}$  есть длина Дебая или дебаевский радиус. В задаче о струе его величина составляет где-то  $3 \times 10^{-3}$ , т.е. является малой.

## 2. МЕТОД РЕШЕНИЯ

Малость  $\epsilon$  (дебаевского фактора) создает сложность для нахождения численного решения (3), (4). Она заключается в том, что из (4) следует, что, если электрическое поле в струе есть  $O(1)$ , то

$$n^i - n^e = O(\epsilon^2). \quad (5)$$

Соотношение (5) называется условием квазинейтральности. Его обычно принимают за определение плазмы – как среды, состоящей из заряженных частиц, чья объемная плотность заряда равна нулю (как в магнитной гидродинамике (см. [6])) или “близка” к нулю.

Экспериментальные данные свидетельствуют, что в плазме, если исключить дебаевские слои, нет сильных электрических полей  $O\left(\frac{1}{\epsilon^2}\right)$ . Тогда из уравнения Максвелла (4) не определяется электрическое поле (оно дает только условие квазинейтральности), и поэтому возникает задача определения электрического поля в ходе совместного решения макроскопических уравнений сохранения, описывающих плазменную среду, и уравнений Максвелла.

Упомянутая выше, гипотеза “термализованного потенциала” является частным случаем способа определения электрического поля, когда предполагают, что  $\phi = f(n^i)$  (см. [7]).

В некоторых работах проблему определения электрического поля решают так: полагают, что  $n_i = n_e$ . Подставляя это соотношение в (4), получают, что  $\Delta \phi = 0$ . Откуда и получают электрическое поле. В основе такого подхода лежит непонимание того, что (5) есть не изначально заданный факт, а есть результат движения плазменной среды, подчиняющейся уравнениям сохранения и уравнениям Максвелла, в ходе которого получается  $n^i - n^e = \epsilon^2 g(t, \mathbf{x})$ . Подставляя этот результат в (4), получим  $\Delta \phi = g(t, \mathbf{x})$ . Это соотношение и будет определять электрическое поле в плазме, которое называется самосогласованным.

Целью данной работы является получение конкретного выражения  $g(t, \mathbf{x})$  в написанном выше соотношении. Из системы кинетических уравнений (1) получим уравнение неразрывности и уравнения сохранения импульса для электронной и ионной компонент. Для этого проинтегрируем первое и второе уравнение (1) каждое по своему пространству скоростей, а затем умножим первое  $\xi$ , второе на  $\mathbf{v}$ , и снова проинтегрируем каждое по своему скоростному пространству (см. [8]). Получим

$$\begin{aligned} \frac{\partial n_i}{\partial t} + \frac{\partial j_i^k}{\partial x^k} &= 0, & \frac{\partial n_e}{\partial t} + \frac{\partial j_e^k}{\partial x^k} &= 0, \\ \frac{\partial j_i^s}{\partial t} + M_i^s - \frac{e}{m_i} n_i E^s &= n_i v_j^s - n_n v_j^s, \\ \frac{\partial j_e^s}{\partial t} + M_e^s + \frac{e}{m_e} n_e E^s &= 0, & s &= 1, 2, 3, \end{aligned} \quad (6)$$

где

$$M_i^s = \frac{\partial}{\partial x^k} \left( \int_{D_i} \xi^s \xi^k f_i d\xi \right), \quad M_e^s = \frac{\partial}{\partial x^k} \left( \int_{D_e} v^s v^k f_e dv \right),$$

$$\text{а } n_n = \int_{D_n} f_n d\mathbf{w}, \quad j_n^s = \int_{D_n} w^s f_n d\mathbf{w}, \quad s = 1, 2, 3.$$

Обозначим через  $N = (n^i - n^e)$  и вычтем из уравнения неразрывности для ионов уравнение неразрывности для электронов. Получим  $\frac{\partial N}{\partial t} + \frac{\partial j^k}{\partial x^k} = 0$ . Вычтем из уравнений сохранения импульса ионов соответствующие уравнения для электронов. После соответствующей манипуляции, которая заключается в переносе соответствующих членов из одной части уравнения в другую и вычитанию величины  $n_n v j_e^s$  из обеих частей уравнения, получим

$$\frac{\partial j^s}{\partial t} + n_n v j^s - \frac{\bar{n}}{m_e} E^s = R^s, \quad R^s = M_e^s - M_i^s - n_n v j_e^s + n_i v j_n^s,$$

$$\bar{n} = n_e + \frac{m_e}{m_i} n_i, \quad s = 1, 2, 3. \quad (7)$$

Возьмем дивергенцию от левой и правой частей (7). Воспользовавшись тем, что  $\operatorname{div} \mathbf{E} = 4\pi e N$ , а  $\operatorname{div} \bar{\mathbf{j}} = -\frac{\partial N}{\partial t}$ , после переноса в правую часть некоторых членов получим

$$\frac{\partial^2 N}{\partial t^2} + n_n v \frac{\partial N}{\partial t} + 4\pi \bar{n} \frac{e^2}{m_e} N = Q,$$

где

$$Q = \frac{\partial}{\partial x^s} (M_i^s - M_e^s) + (\nabla(n_n v) \cdot \mathbf{j}) + (\nabla(n_n v) \cdot \mathbf{j}_e) - (\nabla(n_i v) \cdot \mathbf{j}_n) - \left( \nabla \left( \frac{\bar{n}}{m_e} \right) \cdot \mathbf{E} \right),$$

$$\nabla(f) = \left\{ \frac{\partial f}{\partial x^s} \right\}, \quad s = 1, 2, 3.$$

Приведем полученную выше формулу к безразмерному виду. Будем использовать тот факт, что фигурирующая в (1) величина  $n_n v$  есть (см. [1])  $n_n v = n_n^0 \xi_0 \sigma \bar{n} v$ , где  $\sigma$  есть сечение столкновений резонансной перезарядки (в расчетах  $\sigma = 10^{-14}$  см<sup>2</sup>), а величины с чертой наверху обозначают безразмерные переменные. Чтобы иметь возможность анализа наиболее быстро протекающих процессов, происходящих в плазме, за временной масштаб примем самое короткое время —  $\bar{t}_0 = \frac{a}{v_0}$ . Рассмотрим подробнее переход к безразмерным переменным в левой части уравнения. Имеем

$$\frac{\partial^2 N}{\partial t^2} = \frac{v_0^2}{a^2} n_0 \frac{\partial^2 \bar{N}}{\partial \bar{t}^2}, \quad n_n v \frac{\partial N}{\partial t} = \frac{v_0^2}{a^2} n_0 \left( \frac{a \xi_0}{r_d v_0} n_n^0 r_d \sigma \right) \bar{n} v \frac{\partial \bar{N}}{\partial \bar{t}} = \frac{v_0^2}{a^2} n_0 \frac{1}{\epsilon} S h_e R, \quad R = n_n^0 \sigma r_d = \frac{1}{K n_d}$$

где  $K n_d$  есть число Кнудсена, определенное по дебаевскому радиусу  $r_d$ :

$$4\pi \bar{n} \frac{e^2}{m_e} N = \frac{v_0^2}{a^2} n_0 \left( \frac{4\pi a^2 e^2 n_0}{m_e v_0^2} \right) \bar{n}^d \bar{N} = \frac{v_0^2}{a^2} n_0 \left( a^2 \frac{2\pi e^2 n_0}{k T_e^0} \right) \bar{n}^d \mathbf{N} = \frac{v_0^2}{2a^2} n_0 \left( \frac{a}{r_d} \right)^2 \bar{n}^d \bar{N} = \frac{v_0^2}{a^2} n_0 \frac{1}{\epsilon^2} \frac{\bar{n}^d \bar{N}}{2}.$$

Если, как это принято, опустить штрихи в безразмерных переменных и индекс  $d$  у величины  $\bar{n}^d$ , то приведенное выше уравнение в безразмерном виде будет иметь следующий вид:

$$\frac{\partial^2 N}{\partial t^2} + \frac{R S h_e}{\epsilon} n_n v \frac{\partial N}{\partial t} + \frac{\bar{n}}{2\epsilon^2} \bar{N} = Q, \quad (8)$$

где

$$Q = \frac{\partial}{\partial x^s} (\text{Sh}_e^2 M_i^s - M_e^s) + \frac{\text{Sh}_e}{\text{Kn}_{in}} ((\nabla(n_n v) \cdot \mathbf{j}) + (\nabla(n_n v) \cdot \mathbf{j}_e) - (\nabla(n_i v) \cdot \mathbf{j}_n)) - \left( \nabla \left( \frac{\bar{n}}{2} \right) \cdot \mathbf{E} \right).$$

В последней формуле  $\mathbf{j} = \text{Sh}_e \mathbf{j}_i - \mathbf{j}_e$ ,  $\text{Kn}_{in} = \frac{1}{n_n^0 \sigma a}$ .

Наличие малого параметра  $\varepsilon$  в левой части (8) указывает на то, что макроскопическое движение заряженных компонент плазмы будет происходить в двух временных масштабах: а именно – в режиме “быстрого времени”, когда  $\frac{\partial N}{\partial t} = O\left(\frac{1}{\varepsilon}\right)$ , и в масштабе, когда  $\frac{\partial^2 N}{\partial t^2} \approx \frac{\partial N}{\partial t} = O(1)$ . Для исследования возникающего движения воспользуемся разработанными в [9] асимптотическими методами.

Введем “быстрое время” формулой  $\bar{t} = \frac{(t - t_0)}{\varepsilon}$ . Нетрудно видеть, что по порядку величины это – время, которое требуется электронам, чтобы переместиться на расстояние порядка дебаевского радиуса. Будем искать решение (8) в виде разложения по параметру  $\varepsilon$ :

$$N = \bar{N}(\bar{t}, \mathbf{x}) + \varepsilon N_1(\bar{t}, \mathbf{x}) + \varepsilon^2 N_2(\bar{t}, \mathbf{x}) + O(\varepsilon^3). \quad (9)$$

Подставим (9) в уравнение

$$\varepsilon^2 \frac{\partial^2 N}{\partial t^2} + \varepsilon R \text{Sh}_e n_n v \frac{\partial N}{\partial t} + \frac{\bar{n}}{2} \bar{N} = \varepsilon^2 Q.$$

Учитывая, что

$$n_n(t_0 + \varepsilon \bar{t}, \mathbf{x}) v(t_0 + \varepsilon \bar{t}, \mathbf{x}) = n_n(t_0, \mathbf{x}) v(t_0, \mathbf{x}) + O(\varepsilon), \\ \bar{n}(t_0 + \varepsilon \bar{t}, \mathbf{x}) = \bar{n}(t_0, \mathbf{x}) + O(\varepsilon), \quad Q(t_0 + \varepsilon \bar{t}, \mathbf{x}) = Q(t_0, \mathbf{x}) + O(\varepsilon),$$

получим

$$\begin{aligned} & \left( \frac{\partial^2 \bar{N}}{\partial \bar{t}^2} + \alpha \frac{\partial \bar{N}}{\partial \bar{t}} + \frac{\bar{n}(t_0, \mathbf{x})}{2} \bar{N} \right) + \varepsilon \left( \left( \frac{\partial^2 N_1}{\partial \bar{t}^2} + \alpha \frac{\partial N_1}{\partial \bar{t}} + \frac{\bar{n}(t_0, \mathbf{x})}{2} N_1 \right) \right) + \\ & + \varepsilon^2 \left( \frac{\partial^2 N_2}{\partial \bar{t}^2} + \alpha \frac{\partial N_2}{\partial \bar{t}} + \frac{\bar{n}(t_0, \mathbf{x})}{2} N_2 \right) = \varepsilon^2 Q(t_0, \mathbf{x}), \quad \alpha = R \cdot n_n(t_0, \mathbf{x}) v(t_0, \mathbf{x}). \end{aligned} \quad (10)$$

Откуда получим, что

$$\frac{\partial^2 \bar{N}}{\partial \bar{t}^2} + \alpha \frac{\partial \bar{N}}{\partial \bar{t}} + \frac{\bar{n}(t_0, \mathbf{x})}{2} \bar{N} = 0, \quad \frac{\partial^2 N_1}{\partial \bar{t}^2} + \alpha \frac{\partial N_1}{\partial \bar{t}} + \frac{\bar{n}(t_0, \mathbf{x})}{2} N_1 = 0,$$

и

$$\frac{\partial^2 N_2}{\partial \bar{t}^2} + \alpha \frac{\partial N_2}{\partial \bar{t}} + \frac{\bar{n}(t_0, \mathbf{x})}{2} N_2 = Q(t_0, \mathbf{x}).$$

Пусть  $N(t_0) \neq 0$ , что означает отсутствие квазинейтральности в момент времени  $t_0$ . Тогда

$$\bar{N}(\bar{t}, \mathbf{x}) = \begin{cases} Ae^{-\alpha \bar{t}} \cos(\omega \bar{t} + \varphi), & \omega^2 = \frac{\bar{n}}{2} - \frac{\alpha^2}{4} > 0, \\ Ae^{-\alpha_1 \bar{t}} + Be^{-\alpha_2 \bar{t}}, & \alpha_1 = \frac{\alpha}{2} + \sqrt{\frac{\alpha^2}{4} - \frac{\bar{n}}{2}}, \quad \alpha_2 = \frac{\alpha}{2} - \sqrt{\frac{\alpha^2}{4} - \frac{\bar{n}}{2}}. \end{cases} \quad (11)$$

Не ограничиваясь общностью, положим  $N_1(\bar{t}, \mathbf{x}) = 0$ , а  $N_2(\bar{t}, \mathbf{x}) = \frac{2}{\bar{n}(t_0, \mathbf{x})} Q(t_0, \mathbf{x})$ . Тогда с точностью до  $O(\varepsilon^3)$  решение (10) записывается в виде

$$N(\bar{t}, \mathbf{x}) = \bar{N}(\bar{t}, \mathbf{x}) + \frac{2\varepsilon^2}{\bar{n}(t_0, \mathbf{x})} Q(t_0, \mathbf{x}). \quad (12)$$

Из (12) следует, что если в какой-то момент времени нарушается квазинейтральность, то в режиме быстрого времени квазинейтральность устанавливается или в режиме обычной экспоненциальной релаксации.

При получении решения (9) в режиме времени  $t$  решение также раскладывается в ряд по параметру  $\varepsilon$ . Опуская несложные выкладки, можно получить, что в этом случае

$$N(t - t_0, \mathbf{x}) = \varepsilon^2 \frac{2Q(t - t_0, \mathbf{x})}{\bar{n}(t - t_0, \mathbf{x})} + O(\varepsilon^3).$$

В [9] указано, что разложения, полученные в разных масштабах, согласуются при помощи процедуры сращивания. Если сращивание разложений можно осуществить, то можно построить равномерно пригодное разложение. В нашем случае равномерно пригодное разложение есть

$$N(t - t_0, \mathbf{x}) = \bar{N}\left(\frac{t - t_0}{\varepsilon}, \mathbf{x}\right) + \frac{2\varepsilon^2}{\bar{n}((t - t_0), \mathbf{x})} Q((t - t_0), \mathbf{x}) + O(\varepsilon^3). \quad (13)$$

Из (13) следует, что, если вдруг в плазме нарушится квазинейтральность, т.е.  $N(t_0) \neq O(\varepsilon^2)$ , то в течение времени  $\Delta t = (t - t_0) \approx \varepsilon$  возникнут процессы, которые приведут к установлению квазинейтральности.

Полученный результат является обобщением результатов, имеющихся в [7]. Там, когда рассматривался вопрос, связанный с затуханием Ландау, после ряда допущений было получено, что если квазинейтральности нет, то возникают колебания с частотой  $\omega^2 = \frac{n^e}{4\pi e^2 m^e}$ . В (8) именно этот член в безразмерной форме определяет частоту возникающих колебаний. В [7] также отмечается, что возникающие колебания будут затухающими, и на примере диффузионного приближения показывается, что если  $N(t_0) \neq 0$ , то  $N(t)$  будет за время  $\Delta t = (t - t_0) \gg \varepsilon$  будет приближаться к квазинейтральному режиму. В нашем случае этот результат также получается. Действительно, если в (11)  $\frac{\alpha^2}{4} - \frac{\bar{n}}{2} > 0$ , то решение определяется формулой (12), и  $\alpha_2$  будет соответствовать полученной в [7] константе в показателе экспоненты. Идея проведенного выше анализа возникла именно тогда, когда авторы ознакомились с проведенным в [7] анализом диффузионного приближения. Собственно, проведенный выше анализ есть обобщение изложенного в [7] метода на систему уравнений сохранения, которые были получены из приведенных кинетических уравнений. Нетрудно видеть, что фигурирующая в (9)  $\alpha$  пропорциональна числу столкновений, которые испытывают носители заряда на длине Дебая в единицу времени, поэтому ее величина будет определяться числом  $Kn_d$ .

Следует отметить, что (9) было получено без условия потенциальности электрического поля. Кинетическое уравнение для электронов в случае учета ионизации будет другим. Это приведет к тому, что изменятся выражения для частот столкновений в левой части уравнения, а также  $Q(t, \mathbf{x})$ . Но тип уравнения (8) не изменится, поэтому выше приведенный результат имеет достаточно общий характер.

Можно предложить естественную схему численного решения (3), (4). Пусть в момент времени  $t_i$  известны функции распределения и электрическое поле. Методом, описанным в [1], можно найти все функции распределения в момент времени  $[t_i, t_i + \Delta t]$ , а значит, все макропараметры, в том числе  $N(t_i + \Delta t)$ .

Потенциал электрического поля определится тогда из уравнения Пуассона

$$\varepsilon^2 \Delta \phi = N(t_i + \Delta t, \mathbf{x}). \quad (14)$$

Так и делается во всех работах, где решалась задача о движении плазмы в канале ускорителя. Только в этих работах  $N(t_i + \Delta t, \mathbf{x})$  находилась методом статистического моделирования (метод Берда). Для получения решения уравнения Пуассона (14) необходимо корректно поставить граничные условия, которые ниоткуда не следуют (речь идет о граничных условиях для потенциала электрического поля в плазме). В упомянутых выше работах для решения этой проблемы приходилось идти на ряд существенно ограничивающих полученные результаты допущений. Например, предполагалось, что электрическое поле  $\mathbf{E} = (z, \phi)$ , где  $z$  — длина канала, а  $\phi$  — полярный угол (движение в канале предполагалось осесимметричным), а до этого делались абсурдные

предположения, что моделирование происходит для плазмы с другой диэлектрической проницаемостью. Нужно отметить также, что величина шага интегрирования должна выбираться так, чтобы  $\min\{\Delta x, \Delta y, \Delta z\} < \varepsilon^2$ . Последнюю проблему удается как-то решить, так как за последнее время существенно возросли возможности ЭВМ. Следует также отметить, что в описанной выше схеме никак не учитывается процесс установления квазинейтральности в плазме, а это может привести к возникновению в численном решении незатухающих плазменных колебаний.

Чтобы ввести в численную схему учет процесса установления квазинейтральности, на промежутке  $[t_i, t_i + \Delta t]$  будем решать уравнение (8). Для получения его решения запишем явную схему, т.е.

$$\varepsilon^2 \frac{\partial^2 N}{\partial t^2} + \varepsilon R Sh_e n_n(t_i, \mathbf{x}) v(t_i, \mathbf{x}) \frac{\partial N}{\partial t} + \frac{\bar{n}(t_i, \mathbf{x})}{2} N = \varepsilon^2 Q(t_i, \mathbf{x}). \quad (15)$$

Решение уравнения (15) есть  $N(t_i + \Delta t, \mathbf{x}) = g(t_i, \mathbf{x}) + \varepsilon^2 Q(t_i, \mathbf{x})$ , где

$$g(t_i, \mathbf{x}) = \begin{cases} A \cos(\omega \Delta t + \varphi), & \omega^2 = \frac{\bar{n}(t_i, \mathbf{x})}{2} - \left( \frac{n_n(t_i, \mathbf{x}) v(t_i, \mathbf{x})}{2 K n_d} \right)^2 > 0, \\ A e^{-\alpha_1 \Delta t} + B e^{-\alpha_2 \Delta t}, & \alpha_{1,2} = \frac{n_n(t_i, \mathbf{x}) v(t_i, \mathbf{x})}{K n_d} \pm \sqrt{\left( \frac{n_n(t_i, \mathbf{x}) v(t_i, \mathbf{x})}{2 K n_d} \right)^2 - \frac{\bar{n}(t_i, \mathbf{x})}{2}}. \end{cases}$$

Отсутствие числа Струхала  $Sh_e$  объясняется тем, что шаг  $\Delta t$  берется в режиме решения кинетических уравнений.

Подставляя найденное решение в правую часть (14), получим  $\Delta \varphi = \frac{g(t_i, \mathbf{x})}{\varepsilon^2} + Q(t_i, \mathbf{x})$ . Откуда находится

$$\varphi(t_i + \Delta t, \mathbf{x}) = \int \frac{\frac{g(t_i, \mathbf{y})}{\varepsilon^2} + Q(t_i, \mathbf{y})}{\sqrt{4\pi((y_1 - x_1)^2 + (y_2 - x_2)^2 + (y_3 - x_3)^2)}} d\mathbf{y} + \varphi_{oot}. \quad (16)$$

В (16) интегрирование ведется по всей счетной области  $V$ , а параметр  $\varphi_{oot}$  есть значение потенциала электрического поля, в котором находится двигатель. Предполагается, что он известен, и удовлетворяет уравнению  $\Delta \varphi_{oot} = 0$ . Такой способ действия решает проблему граничных условий, которые должны быть установлены, чтобы получить решение (14). С этим электрическим полем на шаге промежутка  $[t_i, t_i + \Delta t]$  находится решение системы кинетических уравнений. По найденным функциям распределения находятся все макропараметры в момент времени  $t_i + \Delta t$ , и процесс, если нужно, повторяется.

## ЗАКЛЮЧЕНИЕ

Применение полностью кинетического подхода к исследованию плазменной струи позволило получить систему уравнений сохранения, которым подчиняется это движение. Проведенный анализ уравнений сохранения позволил изучить процесс установления квазинейтральности в движущейся плазменной среде, что позволило построить численный метод совместного решения кинетических уравнений и уравнения Максвелла. Этот метод основывается на том, что некоторые макропараметры находятся из решения уравнений сохранения, замкнутых с помощью соответствующих функций распределения. Такой метод решения кинетических уравнений был разработан в [10] и показал свою эффективность. Подводя итог приведенному выше анализу, надо отметить, что он позволил вскрыть механизм установления квазинейтральности в плазме и установить временные масштабы этого процесса, что является основным результатом данной статьи.

Следует отметить, что описанный выше метод исследования предполагается использовать для моделирования процессов, происходящих в ускорительных каналах электроракетных двигателей. При этом ясно, что движение электронов уже не будет свободномолекулярным, так как необходим учет ионизации. Необходимо также будет каким-то образом, рассмотрев задачу о взаимодействии электронов с твердой поверхностью, решить проблему формулирования граничных условий для функции распределения электронов.

## СПИСОК ЛИТЕРАТУРЫ

1. *Абгарян М.В., Бишаев А.М.* Модернизация метода расщепления для решения системы кинетических уравнений, описывающих поведение струи разреженной плазмы // Ж. вычисл. матем. и матем. физ. 2018. Т. 39. № 7. С. 1132–1146.
2. *Абгарян М.В., Бишаев А.М.* Нестационарная модель струи разреженной плазмы, истекающей из Стационарного плазменного двигателя // Физ. пламы. 2018. Т. 4. № 2. С. 238–249.
3. *Жевандров П.И., Морозов А.И., Якунин С.А.* Динамика плазмы, образующейся при ионизации разреженного газа // Физ. пламы. 1984. Т. 10. Вып. 2. С. 353–365.
4. *Райзер Ю.П.* Физика газового разряда. М.: Физматлит, 1987. 592 с.
5. *Власов А.А.* Нелокальная статистическая механика. М.: Наука, 1976. 264 с.
6. *Франк-Каменецкий Д.А.* Лекции по физике плазмы. М.: Атомиздат, 1968. 285 с.
7. *Лифшиц Е.М., Питаевский Л.П.* Физическая кинетика. Т. X. М.: Наука, 1987. 527 с.
8. *Коган М.Н.* Динамика разреженного газа. М.: Наука, 1967. 440 с.
9. *Коул Дж.* Методы возмущения в прикладной математике. М.: Мир, 1972. 274 с.
10. *Бишаев А.М., Рыков В.А.* Решение стационарных задач кинетической теории газов при умеренных и малых числах Кнудсена методом итераций // Ж. вычисл. матем. и матем. физ. 1975. Т. 15. № 1. С. 172–182.